

가
5mm
가
2mm
가

가
가
가
가
가
가
가

2.

2.1
Fig. 1

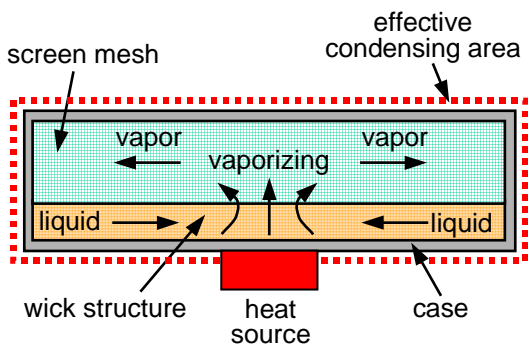


Fig. 1 Basic structure of the flat plate heat pipe

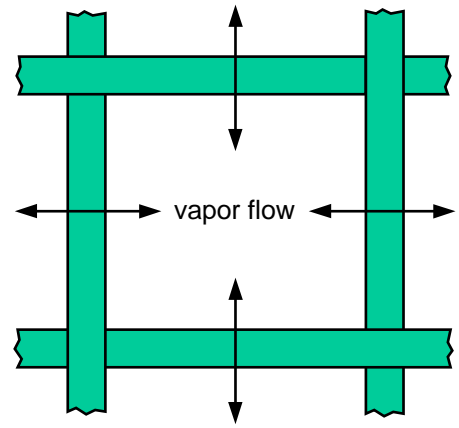


Fig. 2 Schematic of screen mesh

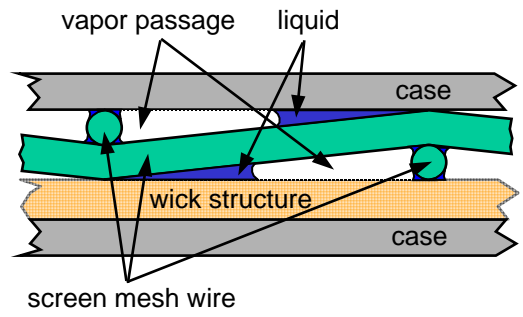


Fig. 3 Detail view of the flat plate heat pipe

Fig. 2

(wire)가

2.2

Fig. 1

Fig. 3

Fig. 3

가 가 가

3.

Fig. 2 3.1

Fig. 1 가 99% 가 100

가 가 0.11mm 가 100

가 가 0.35mm 가 99% 가 14

가 가 0.07mm 가 가

가 50mm 100mm 가 1.08mm

Fig. 3

(rotary vacuum pump)
(diffusion vacuum pump)
8.0×10⁻⁴Pa
가 가

가 (inch) 가 1.06cc
Diavac (Ionization
gauge, Model IT-L20P)

3.2

Fig. 3 가

(heat block) 가

Fig. 4

Fig. 5 가
(water
jacket)

가 가 12mm

(cartridge heater)
6555A) (Agilent

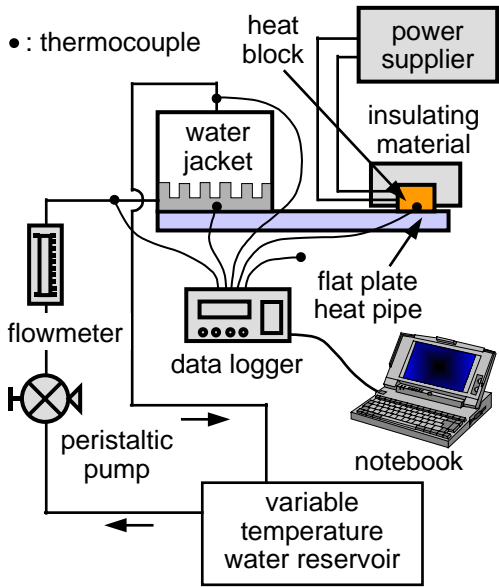


Fig. 4 Schematic of experimental apparatus

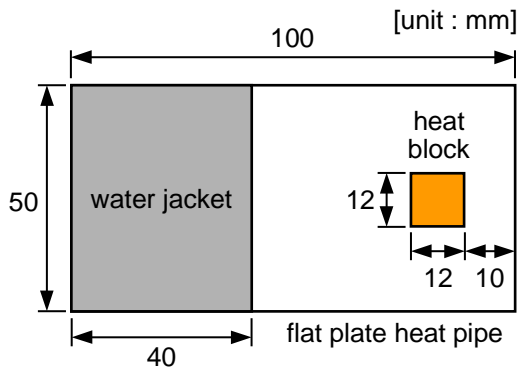


Fig. 5 Installations of heat block and water jacket

(Agilent 34970A)

3.3 ±2
25 가

(case 1) Fig. 4

(case 2) 가

Fig. 5

20W, 30W 40W 가 10W,

±0.1 25 , 95.5cc/min

±0.1%

가 ±0.05

3 200 5 200

(heat sink)

, T_h , T_c

(HCTB- Q_{in} (1)

3040, BATH-26, RCTB-3060, Omega)

, R

(FPU500, Omega)
(FL-113A, Omega)

$$R = \frac{T_h - T_c}{Q_{in}} \quad (1)$$

5 T , 0.13mm (TFCP-005, Omega)

1.0mm

가

4.

Fig. 6 case 1, Q_{in} 가 10~40W 가 , 가 25 가 , 가 가 가 가

10~30W 가 , 40W

가 가 가

1.06cc

Fig. 7 case 1, case 2

T_h

Q_{in}

case 1 case 2

가 가

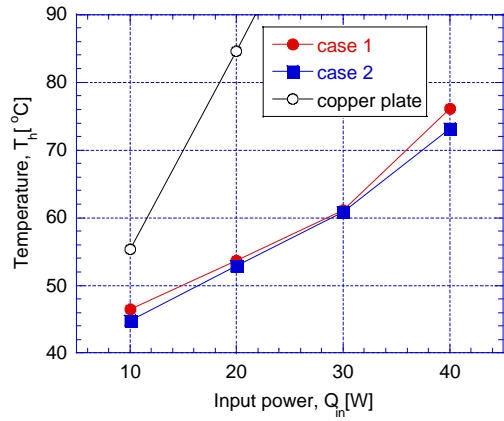


Fig. 7 Variations of heat block surface temperature according to input power

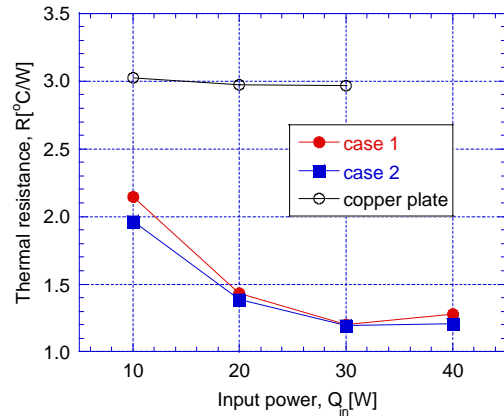


Fig. 8 Variations of thermal resistance according to input power

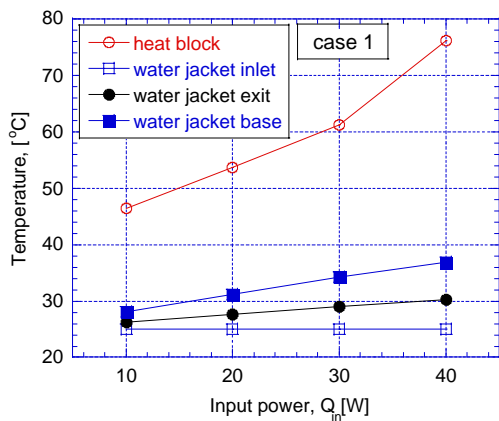


Fig. 6 Variations of temperature according to input power at each positions in case 1

case 1 case 2 가

100

14

Fig. 3

가

Intel Pentium IV
 CPU 30W
 100
 (5)
 40 CPU
 90
 가 25 CPU
 Newton
 70 가 Fig. 7
 가 30W 70
 CPU
 가
 Fig. 8 case 1, case 2
 , Q_{in} , R
 3.0[/w]
 , case 1 case 2
 30W 가 1.2[/w]
 가 30W
 ,
 가
 60%
 ,
 ,
 가
 가
 5.

(1) <http://www.thermacore.com/thermabase.htm>
 (2) Thomas, D. L., "Thin Planar Heat Spreader", United States Patent, Patent No. : 6167948 B1
 (3) Jones, W. K., Liu, Y. and Gao, M., 2002, "Micro Heat Pipes in Low Temperature Cofire Ceramic(LTCC) Substrates", The 18th Intersociety Conference on Thermal and Thermomechanical Phenomena in Electronic Systems(Itherm), San Diego, California, USA, pp. 230~235.
 (4) Gillot, C., Avenas, Y., Cezac, N., Poupon, G., Schaeffer, C. and Fournier, E., 2002, "Silicon Heat Pipes used as Thermal Spreaders", The 18th Intersociety Conference on Thermal and Thermomechanical Phenomena in Electronic Systems(Itherm), San Diego, California, USA, pp. 1052~1057.
 (5) <http://www.intel.com/support/processors/mobile/pentium4/thermal.htm>

(1)

(2)